

Description

Objectif

L'intérêt du cas test est de vérifier le calcul TRUST pour la conduction de chaleur anisotrope dans une géométrie assimilé de la couche de diffusion de gaz de PEMFC.

Physique

La conduction de la chaleur dans GDL (pemfc) est anisotrope. Le coefficient de conductivité dans le plan (parallèle) de GDL est beaucoup plus élevé que celui perpendiculaire au plan (dans l'ordre de grandeur d'une centaine). De plus, la conduction est réduit lors de l'écrasement du GDL: zone non écrasé est plus conductrice que la zone écrasée. La conductivité dans la zone transitoire est interpolé linéairement.

Géométrie La géométrie utilisée est modélisé d'une partie de GDL écrasé par la plaque bipolaire (en métal) comme montrant la Figure 1.

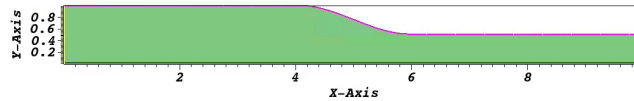


Figure 1: Géométrie de GDL (2D)

La dimension est la suivante:

- largeur (horizontale, Ox) 10
- épaisseur (vertical, Oy):
 - zone non écrasé: épaisseur à 1
 - zone écrasé: épaisseur à 0.5

Quatre bords sont définie: Gauche et Droit (jaune), Haut (violet) et Bas (bleue)

Modèle mathématique On considère la Conduction de la Chaleur dont l'équation comprend une opérateur de diffusion avec le coefficient anisotrope matriciel:

$$\text{div}(-D\text{grad}(T)) = q \quad (1)$$

avec:

T température K

q source par e.x. densité du flux de chaleur W/m^2

D coefficient de conductivité, $W/m/K$. Dans le cas d'anisotropie, il s'agit d'une matrice de taille 3x3 en tridimensionnel et 2x2 en bidimensionnel. La forme de matrice D dépend de la zone sur la géométrie:

- zone sur laquelle le bord est droit, non incliné: D est diagonale

$$D = \begin{pmatrix} D_{xx} & 0 & 0 \\ 0 & D_{yy} & 0 \\ 0 & 0 & D_{zz} \end{pmatrix} \text{ avec } D_{xx} = D_{zz} \gg D_{yy}$$

- zone dont le bord est courbé et incliné: D est pleine symétrique

$$D = \begin{pmatrix} D_{xx} & D_{xy} & D_{xz} \\ - & D_{yy} & D_{yz} \\ - & - & D_{zz} \end{pmatrix} \text{ avec } D_{diagonal} \gg D_{extra-diagonal}$$

La matrice D dans cette zone est le produit matriciel $D = M \cdot D_{diagonal} \cdot M^{-1}$ avec M la matrice de rotation (unitaire) en fonction de l'angle d'inclinaison.

- en 2D:

$$M = \begin{pmatrix} \cos(\theta) & \sin(\theta) \\ -\sin(\theta) & \cos(\theta) \end{pmatrix}$$

- en 3D

$$M = \begin{bmatrix} M_{xx} & M_{xy} & M_{xz} \\ M_{yx} & M_{yy} & M_{yz} \\ M_{zx} & M_{zy} & M_{zz} \end{bmatrix} = [\vec{u}, \vec{v}, \vec{w}]$$

avec $\vec{v} = \nabla T(\theta)$ vecteur normal du plan de bord d'écrasement GDL,

$$\vec{u} = \vec{v} \times \vec{OY},$$

$$\vec{w} = \vec{v} \times \vec{u}$$

La propriétaire de la matrice est $M^{-1} = M^T$ et $\det M = 1$

- zone d'écrasement: la magnitude de D dépend linéairement aux valeurs de conductivité de la zone non écrasement et écrasement qui correspondent respectivement à l'épaisseur maximal et minimal de GDL.

$$\alpha = \frac{ep - ep_{ec}}{ep_{non_ec} - ep_{ec}}$$

$$D = \alpha D_{non_ec} + (1 - \alpha) D_{ec}$$

Condition limite

- adiabatique sur les bords Gauche et Haut
- dirichlet $T = 0$ sur le bord Bas
- température externe imposé $T = 1$ avec coefficient d'échange imposé mix

- zone non écrasement ($x = [0, 4]$) h_{imp} égale à 0.
- zone écrasement ($x = [6, 10]$) h_{imp} égale à 10.
- zone transitoire ($x = (4, 6)$) h_{imp} est en fonction de x (continue)
 $10.0, 5(1. + \sin(0, 5\Pi(x - 5)))$

Maillage La discrétisation schéma utilise un non structuré maillage (VEF)

Sonde on crée deux sondes

- le champ température sur la ligne diagonale de la géométrie P1(0,1) et P2(10,0)
- et le flux sur le bord Haut

Data fichiers

Deux fichiers .data sont défini:

- gradT.data Pour estimer (par MEDCoupling) l'angle de rotation θ du bord Haut et interpolation cet angle dans la géométrie.
- PEMFC_2D_anisotrope_pac-withMEDCoupling.data Pour calcul la conduction en prenant en compte l'anisotropie.

Fichier gradT.data

```

1 # dimension #
2 dimension 2
3
4 # domaine #
5 domaine dom
6
7 # probleme de conduction de la chaleur #
8 Pb_conduction pb
9
10 # BEGIN MESH #
11 Lire_med family_names_from_group_names dom Mesh_1 Mesh_1.med
12 # END MESH #
13
14 # discretisation VEF #
15 vefprep1b dis
16
17 # time scheme #
18 scheme_euler_implicit scheme
19
20 Read scheme
21 {
22     tinit 0.
23     tmax 10.

```

```

24     dt_min 1e-7
25     dt_max 1.
26     dt_impr 1.
27     dt_sauv 1.
28     seuil_statio 1.e-6
29     facsec 1e6
30     facsec_max 1e8
31     Solveur Implicite
32     {
33         Solveur petsc cholesky { quiet }
34     }
35 }
36
37 # physics properties of medium #
38 solide sol
39 read sol
40 {
41     rho champ_uniforme 1 1.0
42     lambda champ_uniforme 1 1.
43     Cp champ_uniforme 1 1.0
44 }
45
46 # associate the problem with the geometry, the time scheme and the
47   physic properties #
48 associate pb dom
49 associate pb scheme
50 associate pb sol
51
52 # meshing the geometry with the given discretisation method #
53 discretize pb dis
54
55 # definition of the problem #
56 read pb
57 {
58     # Resolution div (-grad u) = 0 donc sans source, sans coefficient
59     , steady state #
60     conduction
61     {
62         diffusion { }
63         initial_conditions {
64             temperature champ_uniforme 1 1.
65         }
66         boundary_conditions {
67             Gauche paroi_flux_imposee champ_front_uniforme 1 0.
68             Droit paroi_flux_imposee champ_front_uniforme 1 0.
69             Haut paroi_temperature_imposee champ_front_uniforme 1 1.
70             Bas paroi_temperature_imposee champ_front_uniforme 1 0.
71         }
72     }
73 }
74
75 # post traitement #
76 post-processing
77 {
78     # define the champs for exporting the coefficient anisotrope #
79     definition_champs
80     {
81         # gradient of temperature grad(u) = [ux uy]^T #

```

```

79     gradT gradient {
80         source refchamp { Pb_champ pb temperature }
81     }
82 }
83
84 format med_major fields dt_post 1.
85 {
86     temperature elem
87     temperature som
88     gradT elem
89     gradT som
90 }
91 }
92 }
93
94 # solve the problem #
95 solve pb
96
97 end

```

Fichier PEMFC_2D_anisotrope_pac_withMEDCoupling.data

```

1 # PARALLEL OK #
2 # Heat Conduction 2D anisotrope #
3 dimension 2
4
5 # domain name #
6 domaine dom
7
8 # physic problem: heat conduction #
9 pb-conduction pb
10
11 # BEGIN MESH #
12 Lire_med family_names_from_group_names dom dom gradT_0000.med
13 # END MESH #
14
15 # BEGIN PARTITION
16 Partition dom
17 {
18     /* Choose Nb-parts so to have ~ 25000 cells per processor */
19     Partition_tool metis { nb-parts 2 }
20     Larg_joint 2
21     zones_name dom
22 }
23 End
24 END PARTITION #
25
26 # BEGIN SCATTER
27 Scatter dom.Zones dom
28 END SCATTER #
29
30 # discretisation VDF for the domain 2D #
31 vefprep1b dis
32
33 # time scheme #
34 Scheme-euler-implicit scheme
35 # schema_backward_differentiation_order_2 scheme #
36 Read scheme

```

```

37 {
38   # Time step #
39   # Initial time [s] #
40   tinit 0
41   # Min time step #
42   # dt_min 1e-9 #
43   # Max time step #
44   # dt_max 1. #
45   # facsec maximal possible value for the heat transfer #
46   facsec 1000
47   facsec_max 5000
48   # .out files printing period #
49   dt_impr 1e-3 # Note: small value to print at each time step #
50   # .sauv files printing period #
51   dt_sauv 1e-3
52   # Stop if one of the following criteria is checked: #
53   # End time [s] #
54   tmax 10.0
55   # Max number of time steps #
56   # nb_pas_dt_max 10 #
57   # max number of implicit solver #
58   max_iter_implicite 50
59   # Convergence threshold (see .dt_ev file) #
60   seuil_statio_relatif_deconseille 1
61   seuil_statio 1e-5
62   Solveur Implicite
63   {
64     Solveur petsc cholesky { quiet }
65   }
66 }
67
68 # physics properties of medium #
69 solide sol
70 read sol
71 {
72   rho champ_uniforme 4 1. 1. 1. 1.
73   lambda champ_fonc_med last_time conduc2d.mod.med dom
74   CONDUCTIVITY_ELEM.dom elem 0
75   Cp champ_uniforme 4 1. 1. 1. 1.
76 }
77
78 # associate the physic problem with the geometry, the time scheme
79   and the physic properties #
80 associate pb dom
81 associate pb scheme
82 associate pb sol
83
84 # meshing the geometry with the given discretisation method #
85 discretize pb dis
86
87 # definition of the physic problem: heat conduction #
88 read pb
89 {
90   # Resolution of the laplacien equation modifying the heat
91   equation #
92   conduction

```

```

91 {
92   diffusion { Tensor }
93   initial_conditions {
94     temperature champ-uniforme 1 0.0
95     # temperature champ_fonc_med last_time prepare_0000.med dom
     temperature elem 0 #
96   }
97   boundary_conditions {
98     Gauche paroi_flux_impose champ_front-uniforme 1 0.
99     Droit paroi_flux_impose champ_front-uniforme 1 0.
100    Haut paroi_echange_externe_impose h_imp champ_front_fonc_xyz
1    (x[4.)*0.+(x>4.)*(x<6.)*10.*0.5*(1.+SIN(0.5*Pi*(x-5.)))+(x
    ]6.)*(10.) T_ext champ_front-uniforme 1 1.
101    Bas paroi_temperature_imposee champ_front-uniforme 1 0.
102  }
103 }
104
105 # post traitement #
106 post-processing
107 {
108   definition_champs
109   {
110     # gradient of temperature grad(u) = [ux uy]^T #
111     gradT gradient {
112       source refchamp { Pb_champ pb temperature }
113     }
114   }
115   probes {
116     sonde_temperature temperature periode 0.01 segment 501 0. 1.
117     10. 0.
118   }
119   format lata # lata for VisIt tool #
120   fields dt_post 0.1 # warning small value #
121   {
122     temperature elem
123     temperature som
124     gradT som
125     diffusivite_thermique elem
126     capacite_calorifique elem
127     masse_volumique elem
128   }
129 }
130
131 imprimer_flux dom { Haut Bas }
132
133 # solve the problem #
134 solve pb
135
136 end

```